

Il ruolo dei dischi nella formazione delle stelle O-B

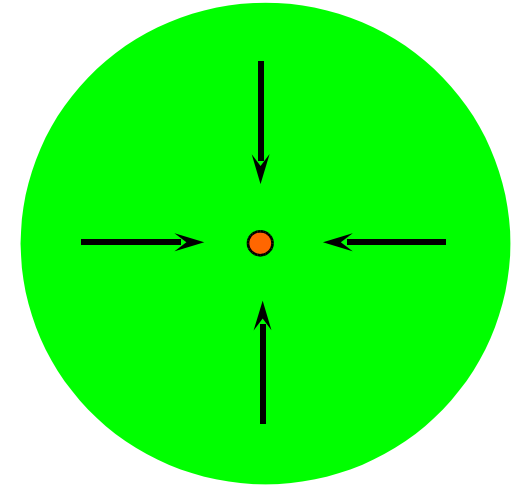
Riccardo Cesaroni

INAF – Osservatorio Astrofisico di Arcetri

- 1) Il **problema** della **formazione** delle **stelle OB**
- 2) Il (possibile) **ruolo dei dischi** di accrescimento
- 3) **Risultati attuali**: dischi (stelle **B**) e toroidi (stelle **O**)
- 4) Il **progetto ALMA**: proposta **Ciclo 0** e scopo **finale**

Come si formano le stelle?

Nucleo (**protostella**) con **involuppo**:

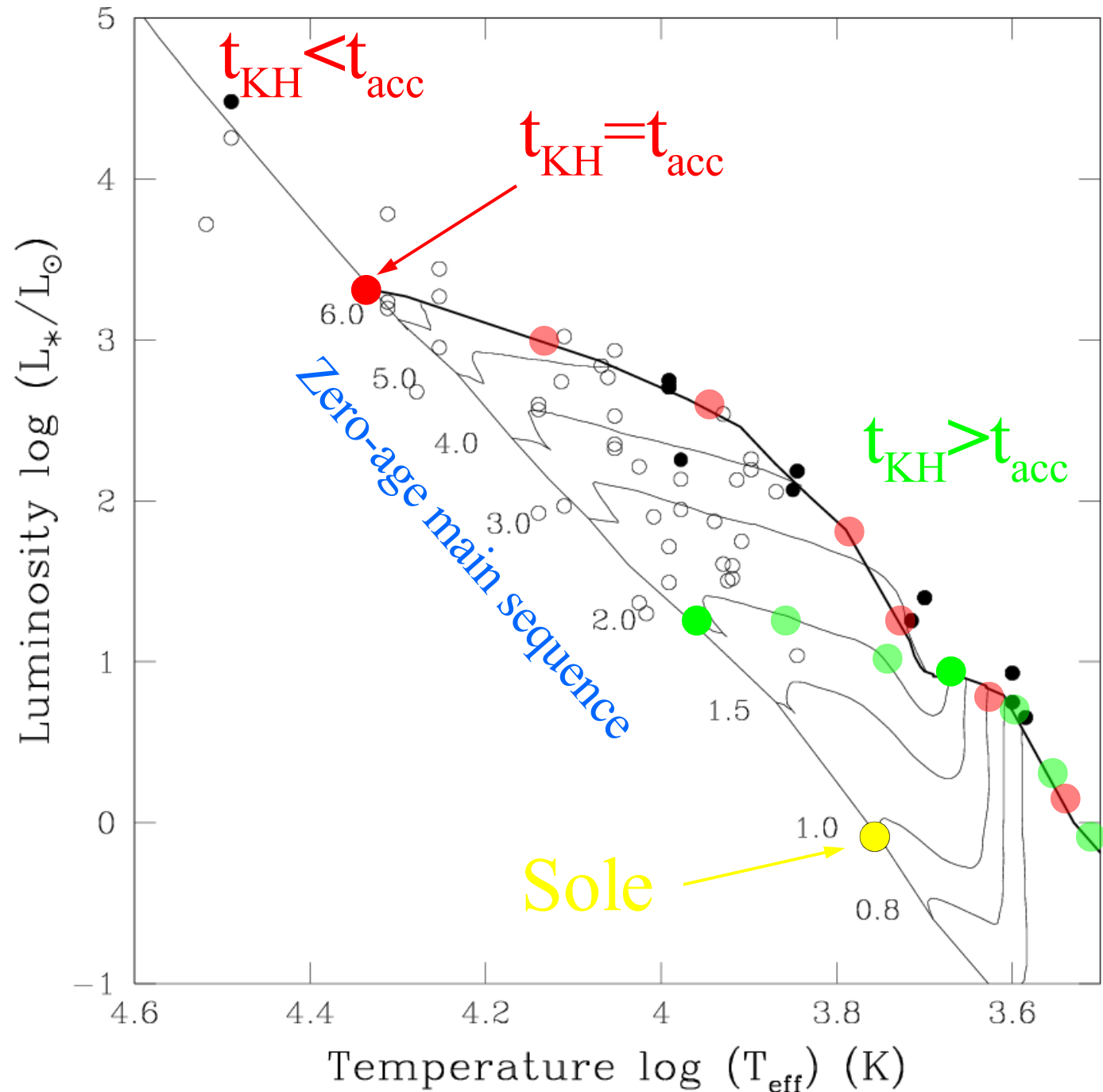


- **Contrazione** protostella $\rightarrow t_{\text{KH}}$
- **Accrescimento** da involucro su protostella $\rightarrow t_{\text{acc}}$

t_{acc} **cresce** con M_* mentre t_{KH} **diminuisce** con M_*

Palla & Stahler (1990, 1993)

accrescimento con
 $dM/dt=10^{-5} M_{\odot}/\text{yr}$



PROBLEMA

- ➔ Le stelle massicce arrivano sulla ZAMS ancora in fase di accrescimento
- ➔ In simmetria sferica, la pressione di radiazione blocca l'accrescimento (Kahn 1976)
- ➔ stelle $> 8 M_{\odot}$ non possono esistere!?

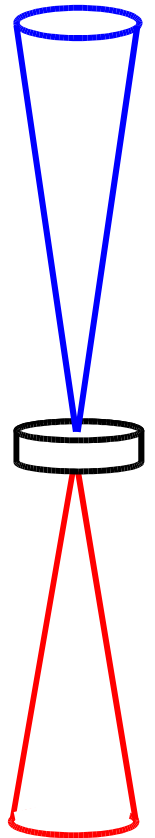
SOLUZIONE

Accrescimento mediante disco (+outflow) (Yorke & Sonnhalter, Krumholz et al.):

Outflow → incanala i fotoni →
→ riduce la pressione di radiazione

Disco → concentra l'accrescimento →
→ aumenta la ram pressure

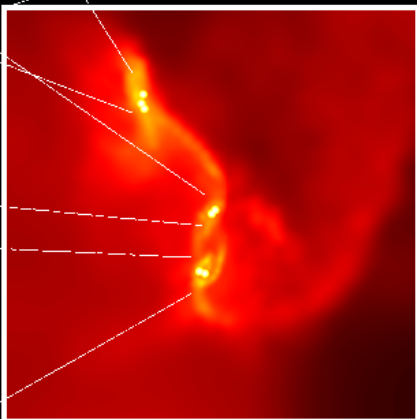
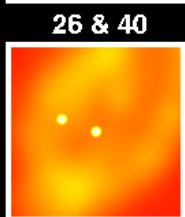
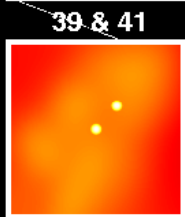
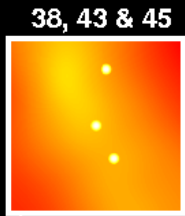
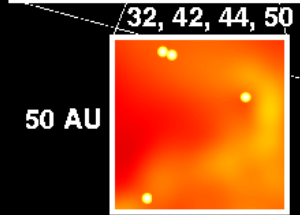
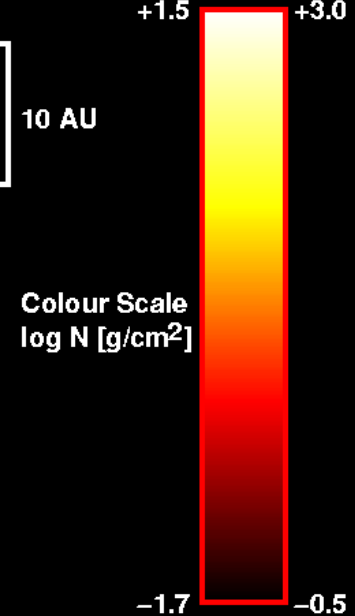
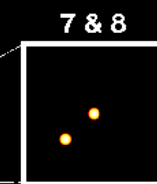
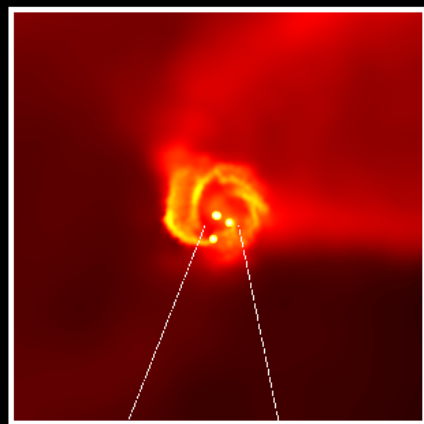
➔ L'esistenza dei dischi in stelle OB
indicherebbe una continuità nel modo di
formazione, dalla piccola all'alta massa



Buone notizie: teoria

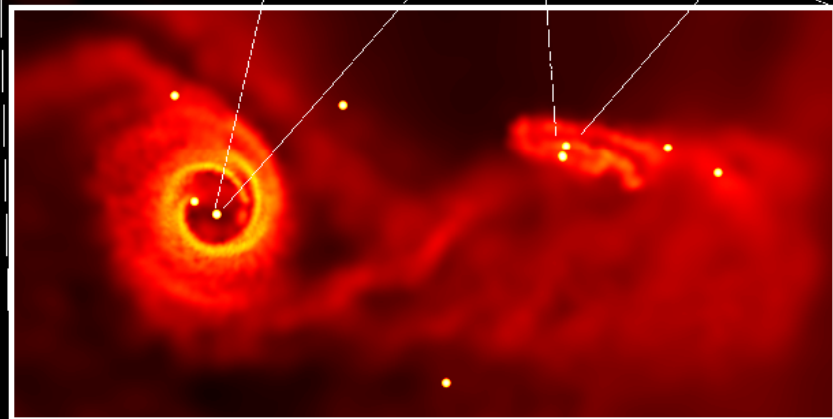
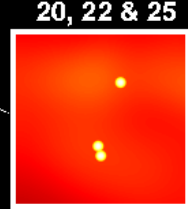
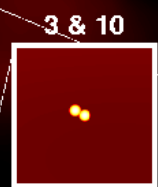
- Tutte le teorie di formazione stellare predicono dischi attorno a stelle OB (dimensioni $\sim 100-1000$ AU) - e.g. Bonnell 2005, Krumholz et al. 2007, Keto 2007,
- Le teorie spiegano la formazione di stelle fino a $140 M_{\odot}$ mediante disco di accrescimento → soluzione problema pressione di radiazione (Kuiper et al. 2010, 2011)

1 pc clump collapse competitive accretion Bonnell (2005)



750 AU

750 AU



Cattive notizie: osservazioni

→ Dischi attorno a stelle OB molto difficili da osservare: **lontani** ed **embedded**

→ dist. OB > 1 kpc, disco ~100 AU → **HPBW < 0.1''**

→ $A_V=1000$ → $\lambda > \text{mid-IR}$ necessaria

Finora risoluzione angolare **radio-submm > 0.5''**

Adesso fattibile con ALMA!

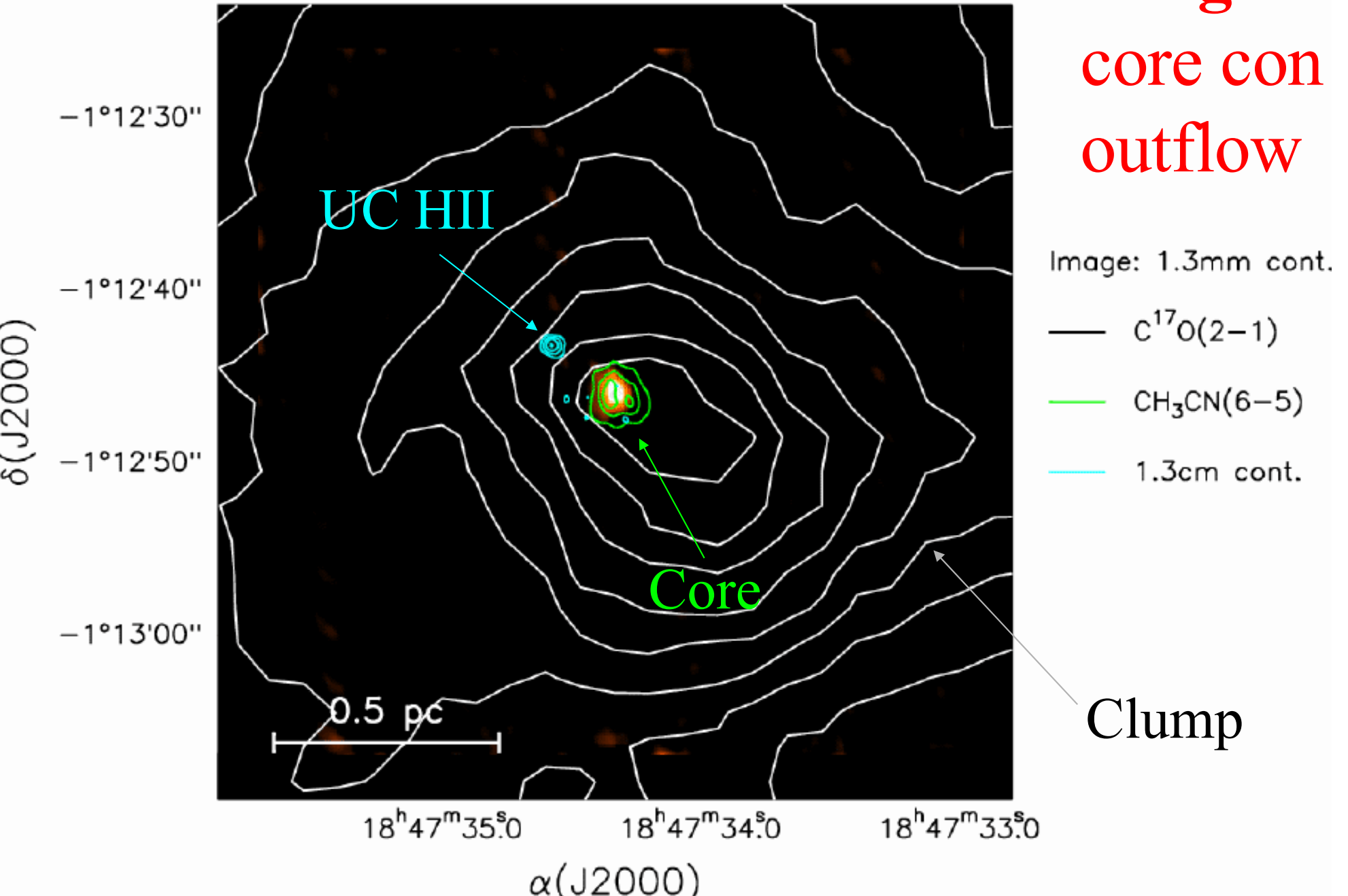
Ricerca dei dischi

Dove cercarli? → scelta **target**

Cosa osservare? → scelta **tracciante**

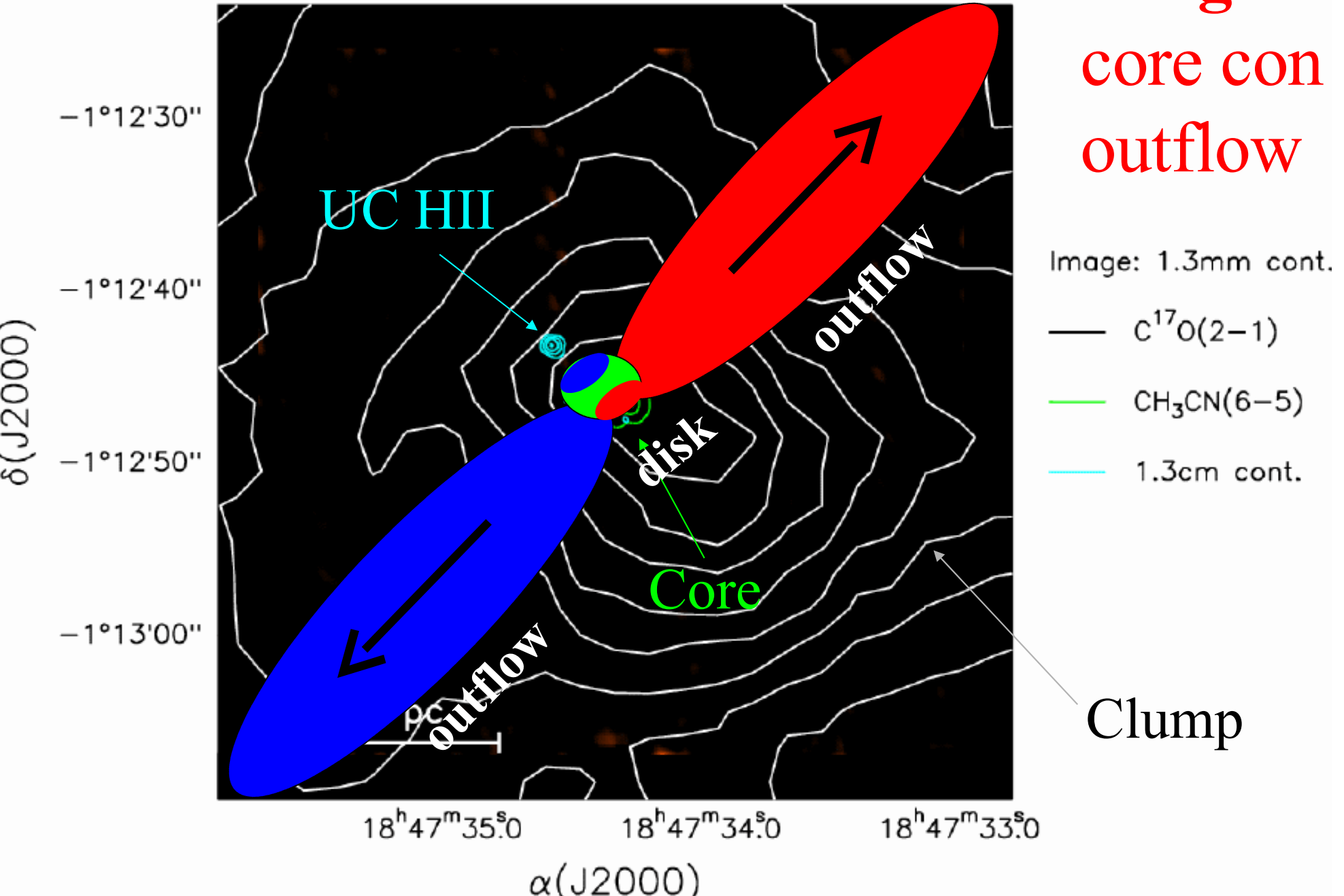
G31.41+0.31

Target:
core con
outflow



G31.41+0.31

Target:
core con
outflow



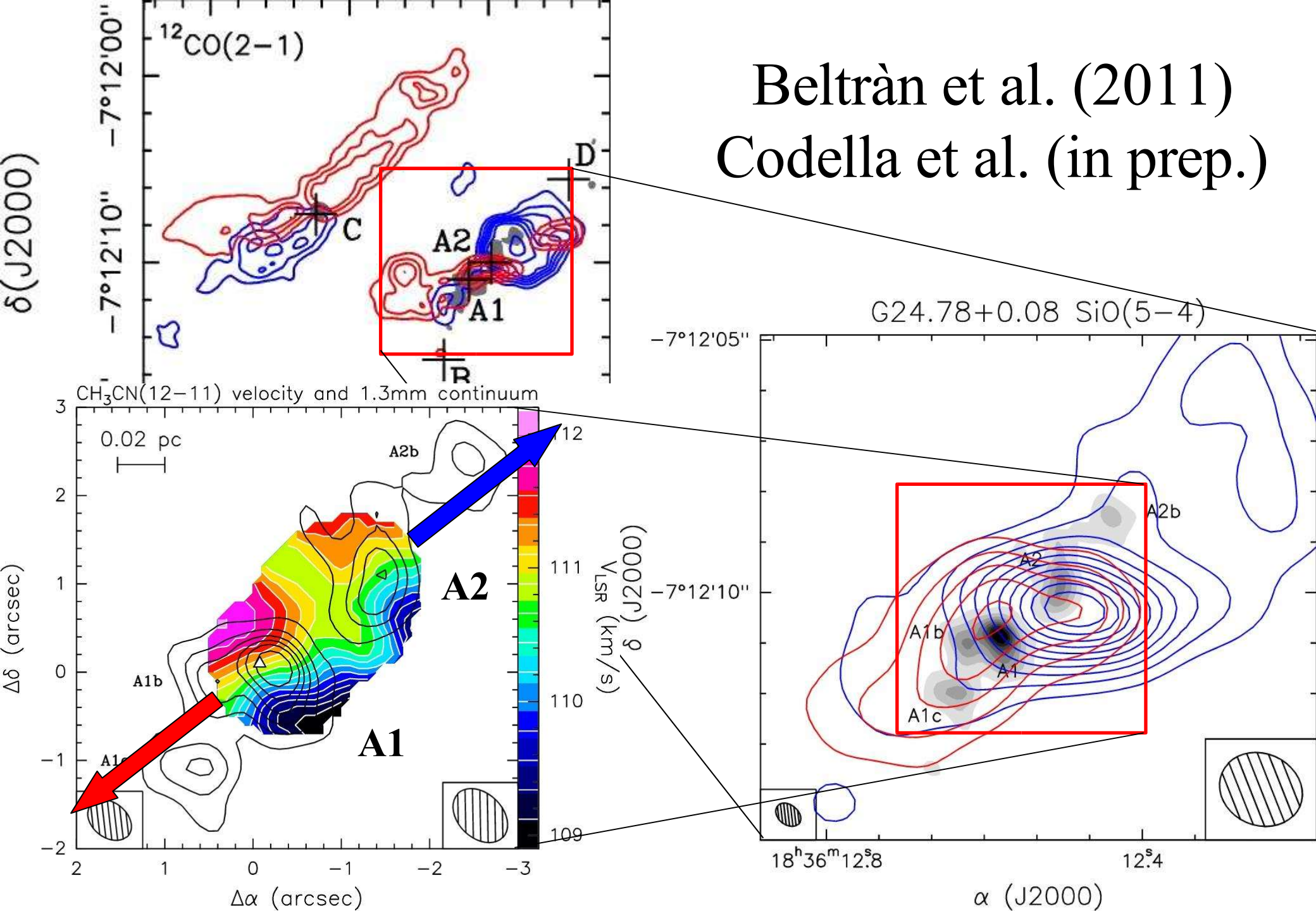
Traccianti possibili:

$A_V \sim 1000$ mag \rightarrow radio-submm

TRACCIANTE	PRO	CONTRA
Righe maser	Alta risol. angolare; moti propri \rightarrow vel. 3D	Informazione “patchy”
Continuo (sub) mm	Banda larga \rightarrow Alta sensibilità	No info velocità Confusione con free-free e/o involuppo
Righe molecolari termiche	Cinematica e geometria di outflow e disco	Risoluzione e sensibilità \rightarrow ALMA!

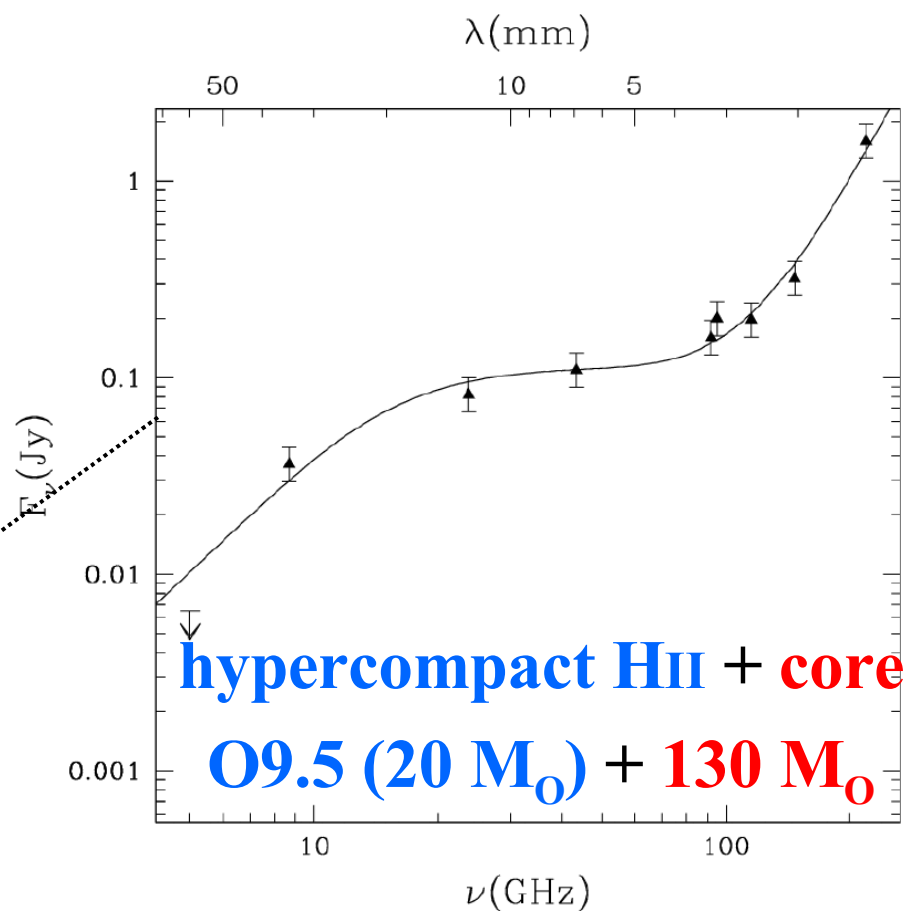
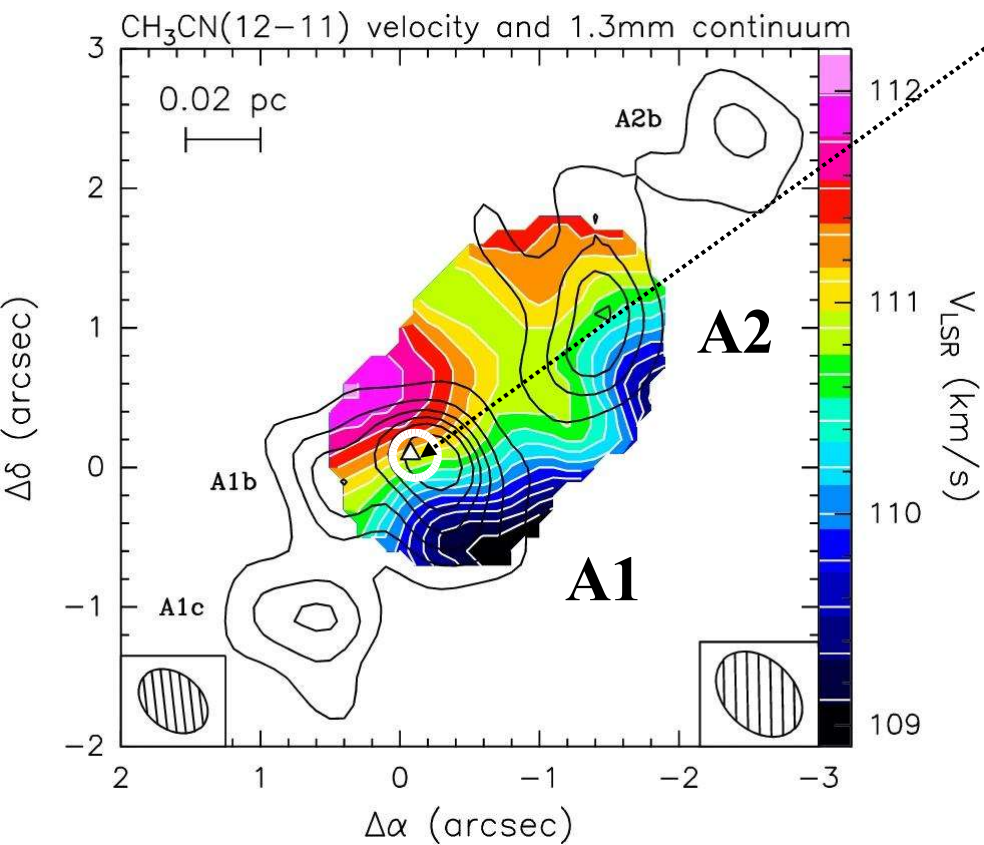
Esempio: stella O

Beltràn et al. (2011)
Codella et al. (in prep.)



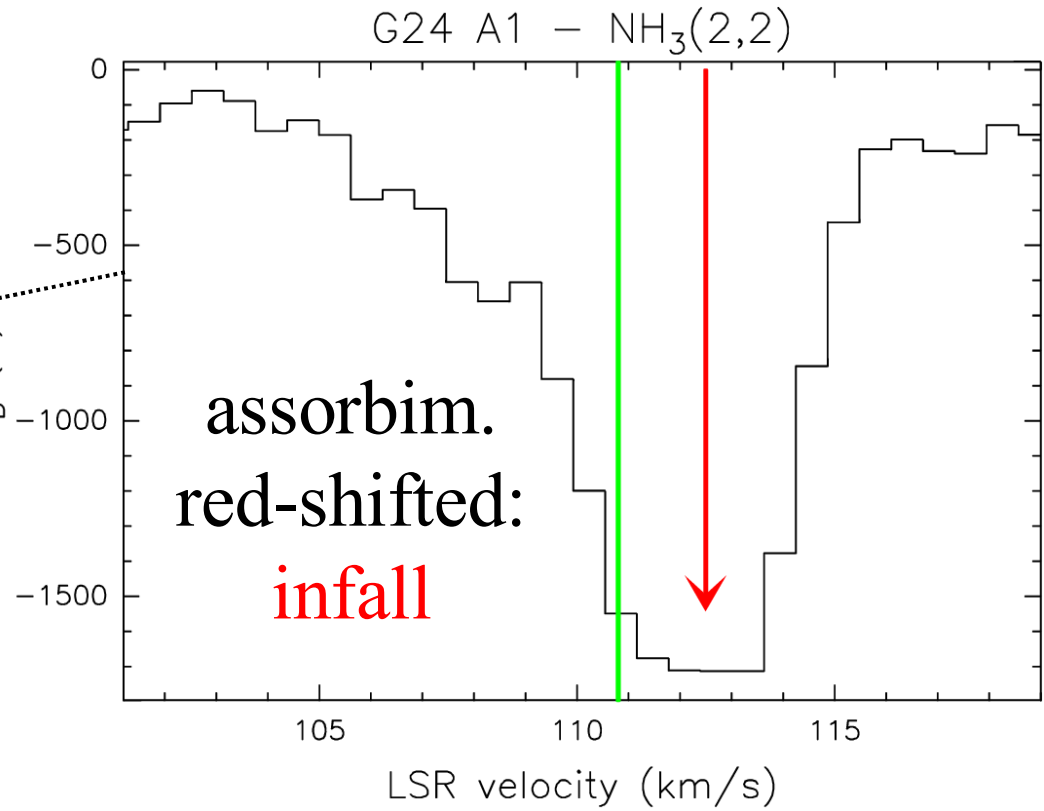
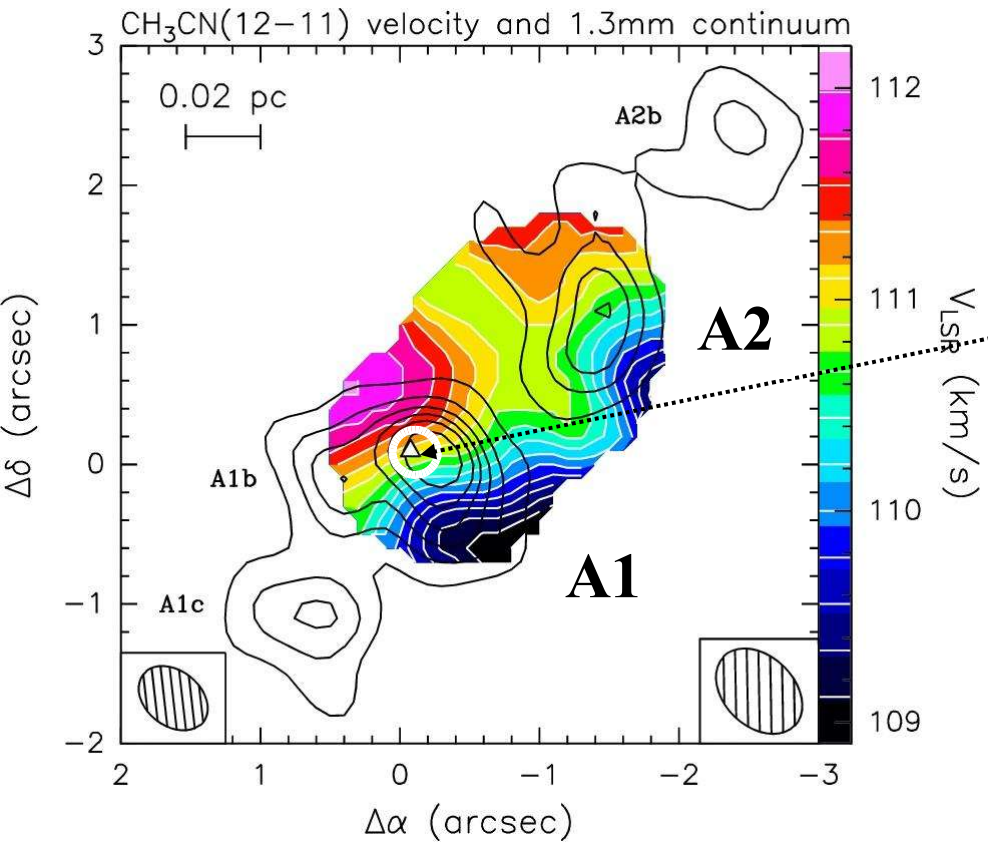
Beltran et al. (2006)

Beltran et al. (2011)



Beltran et al. (2006)

Beltran et al. (2011)



Risultati:

- $M_{\text{star}} = 20 M_{\odot}$ dentro core con $M_{\text{gas}} = 130 M_{\odot}$
- Gradiente di velocità perpendicolare ad asse outflow →
core **rotante** → **toroide** (\neq disco)
- Assorbimento **red-shifted** in riga molecolare contro
regione HII → **infall** verso stella O ($10^{-3} M_{\odot} \text{ yr}^{-1}$)
→ **accrescimento** sulla stella?

Esempio: stella B

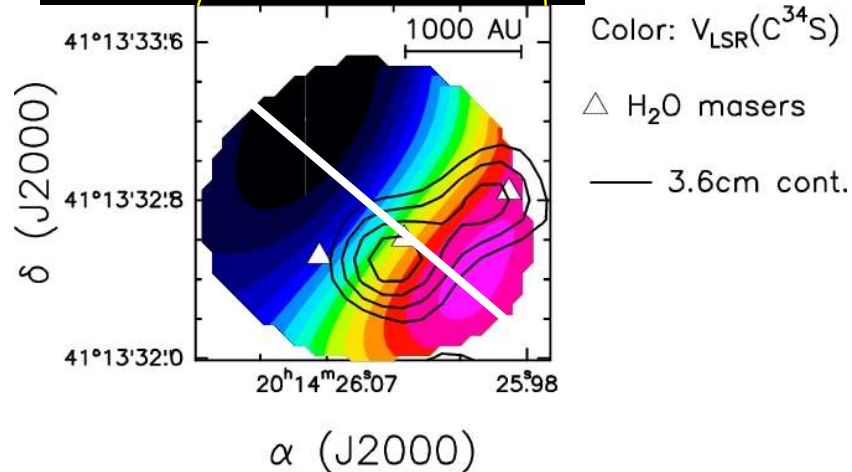
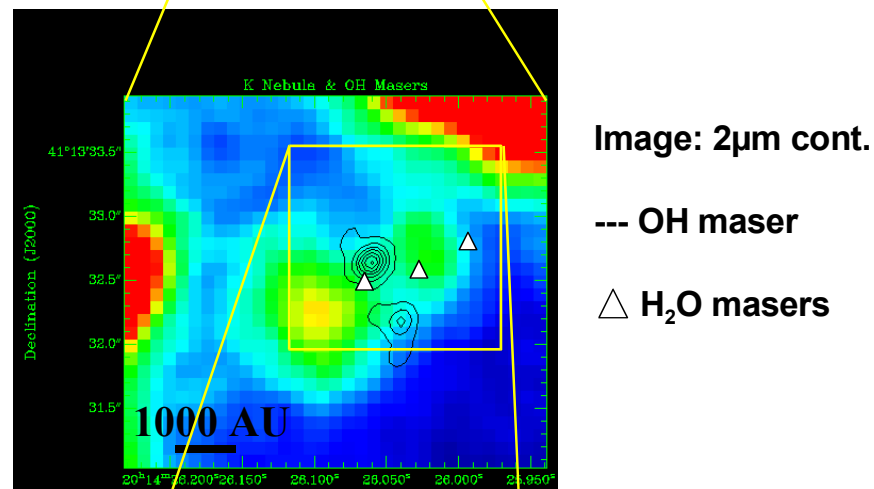
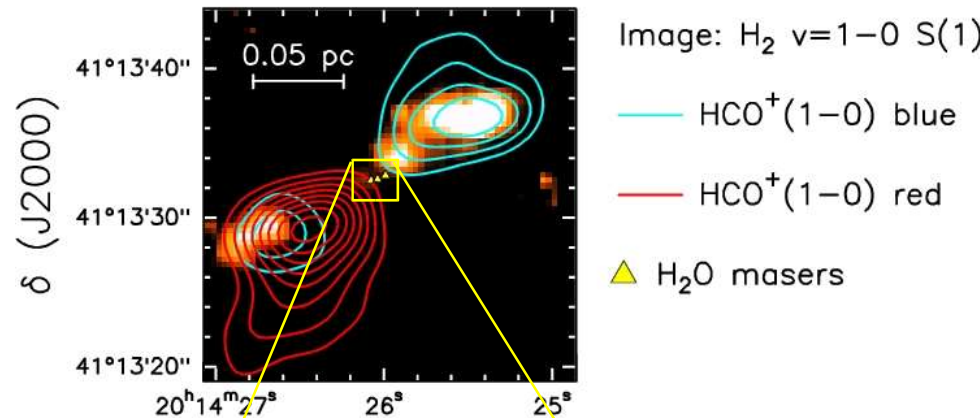
IRAS 20126+4104

Cesaroni et al.

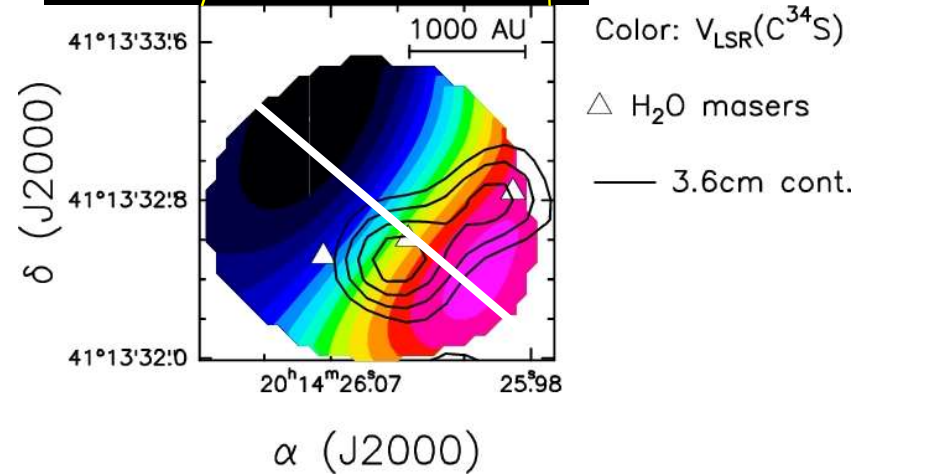
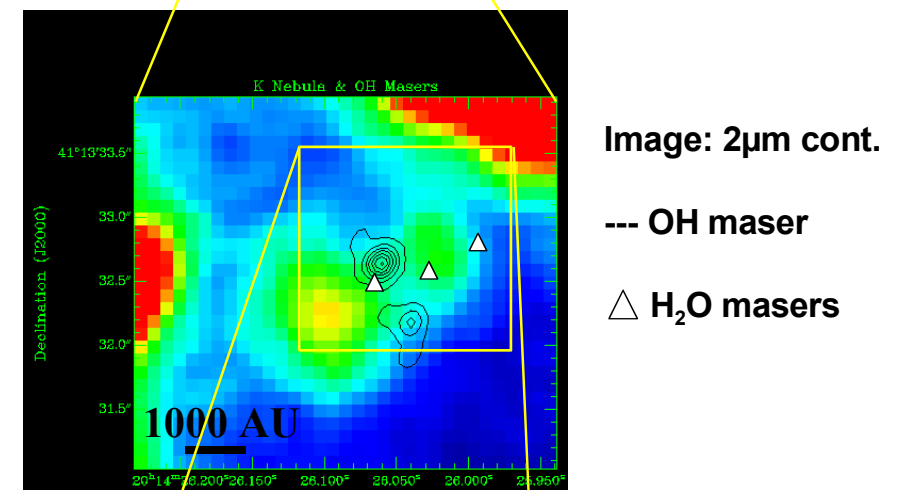
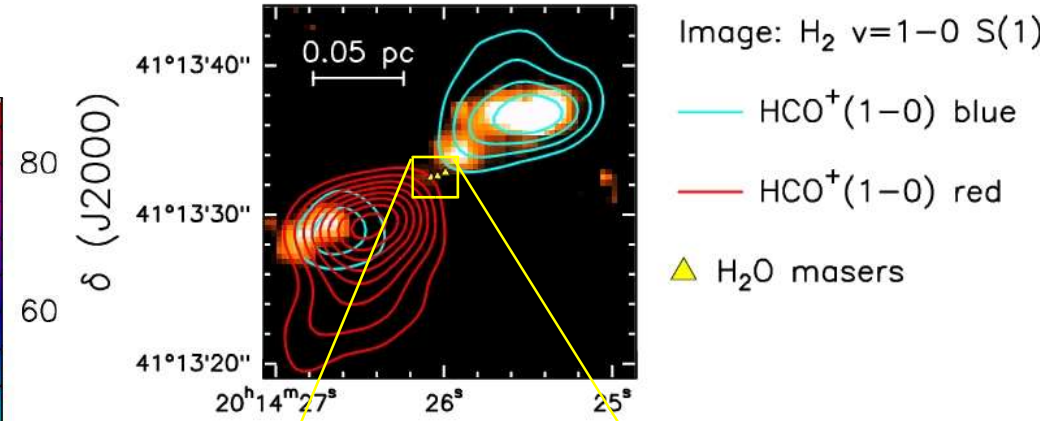
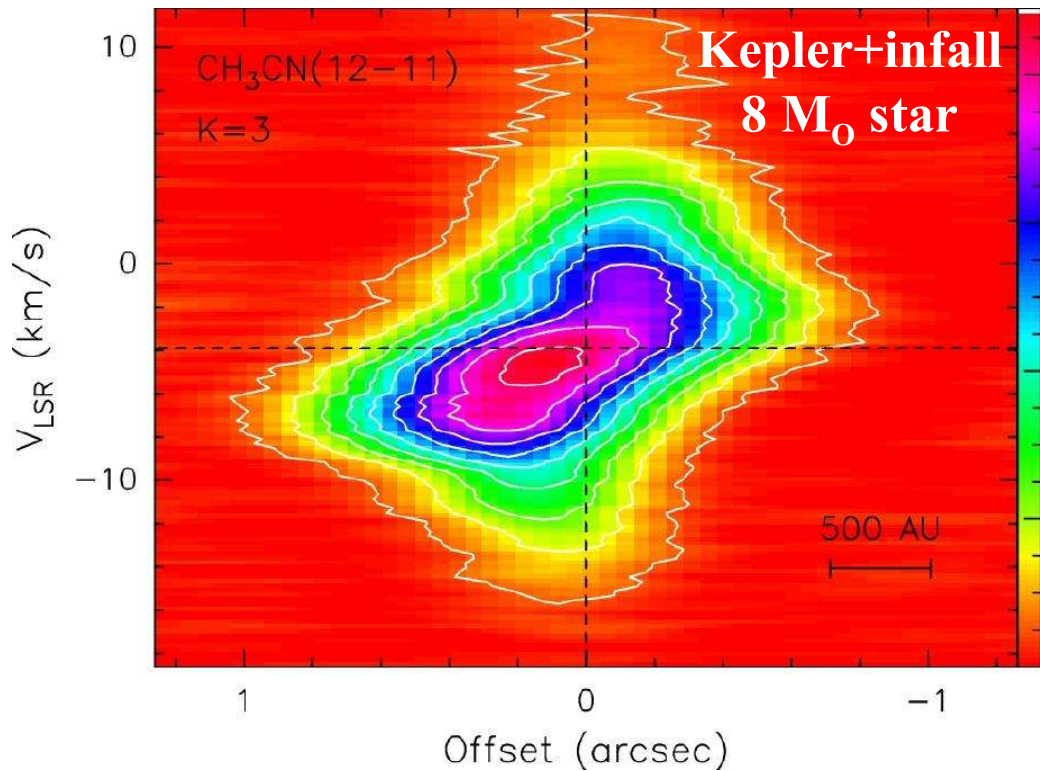
Hofner et al.

Sridharan et al.

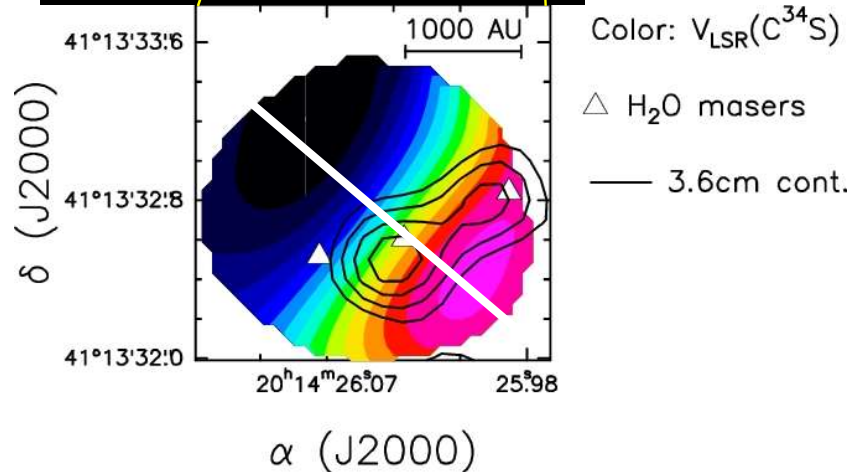
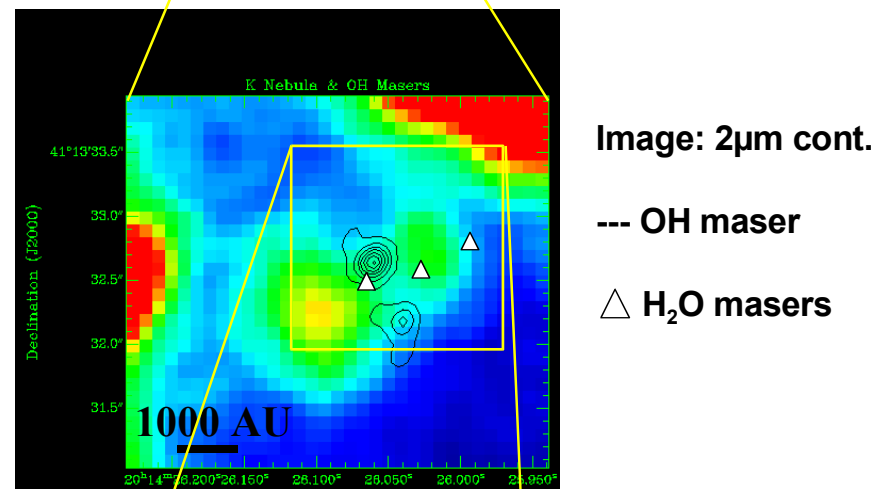
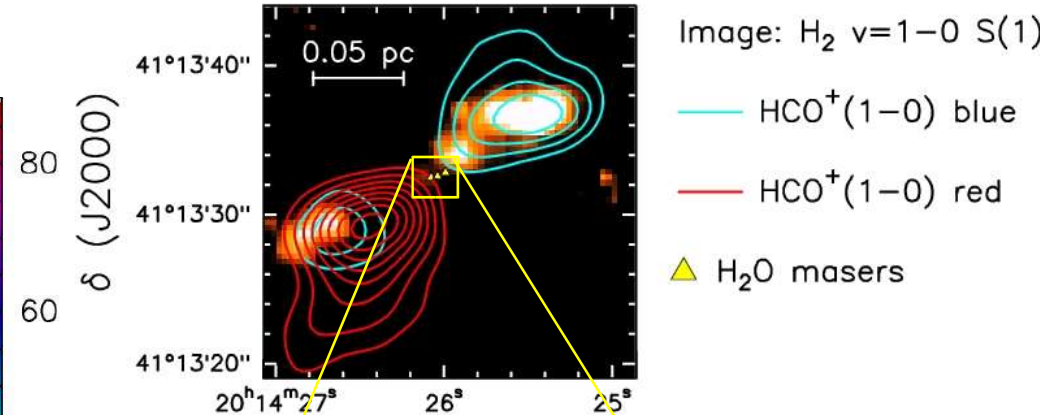
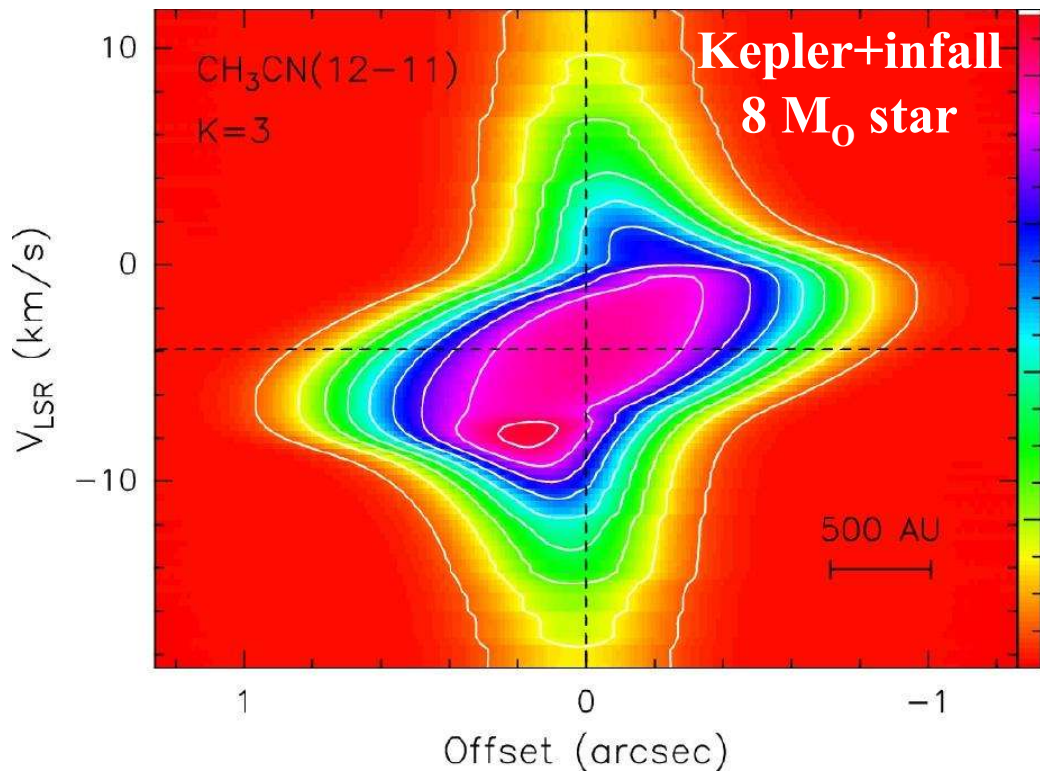
Moscadelli et al.



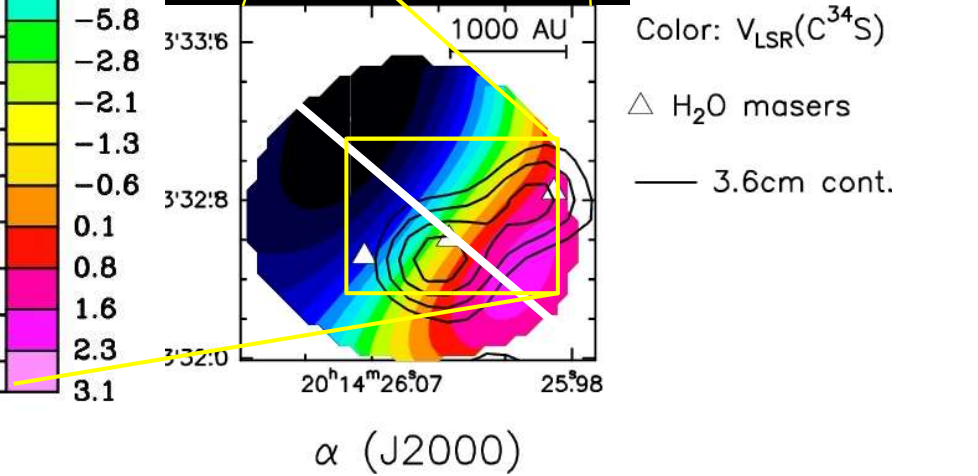
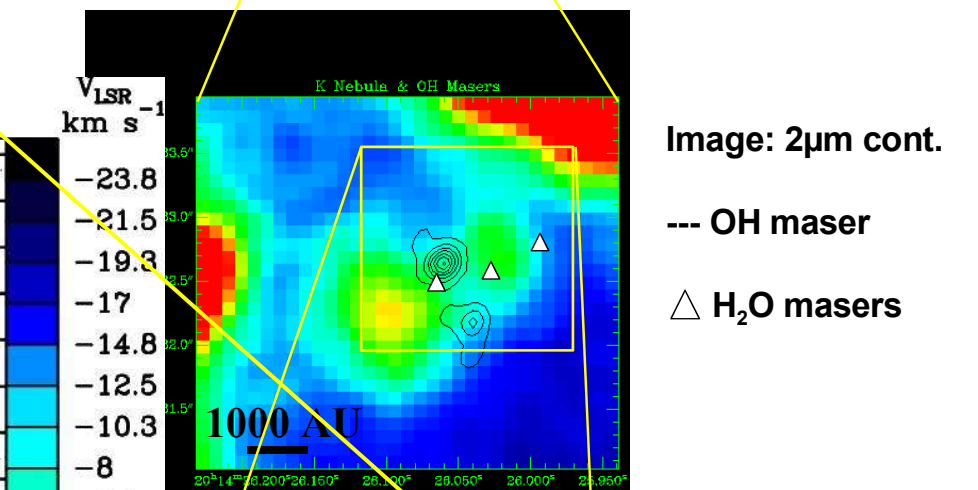
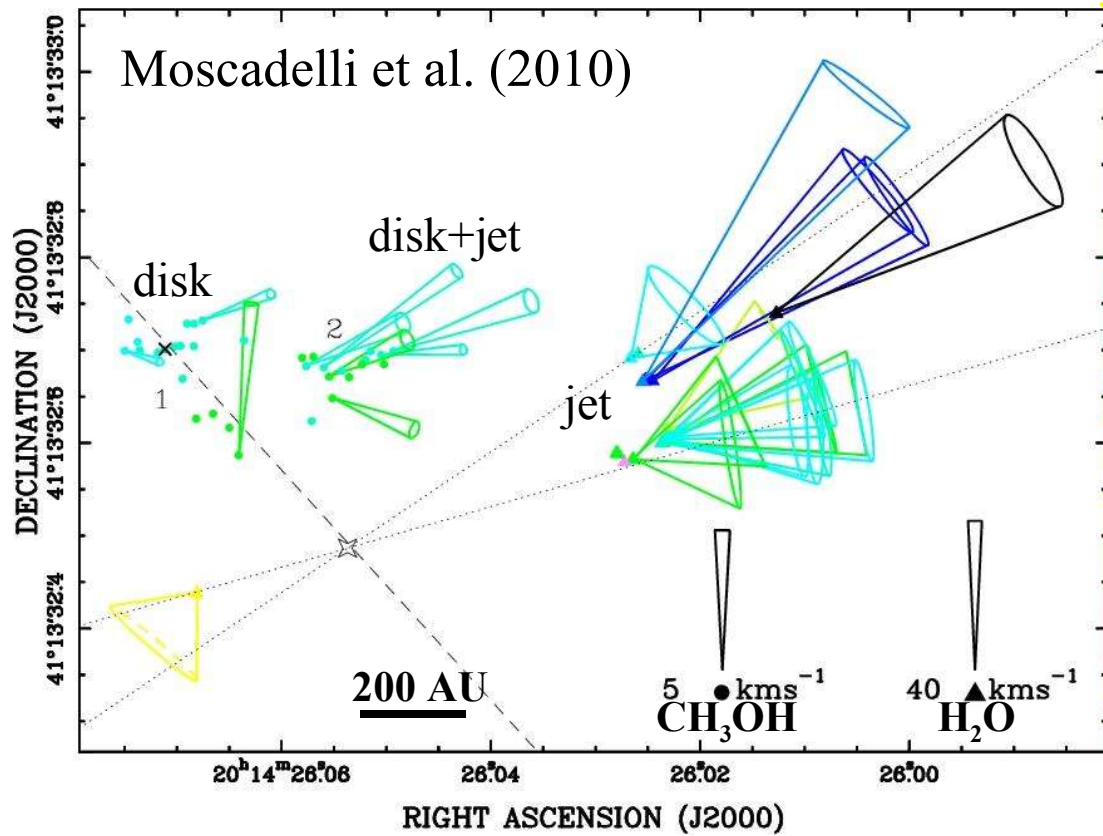
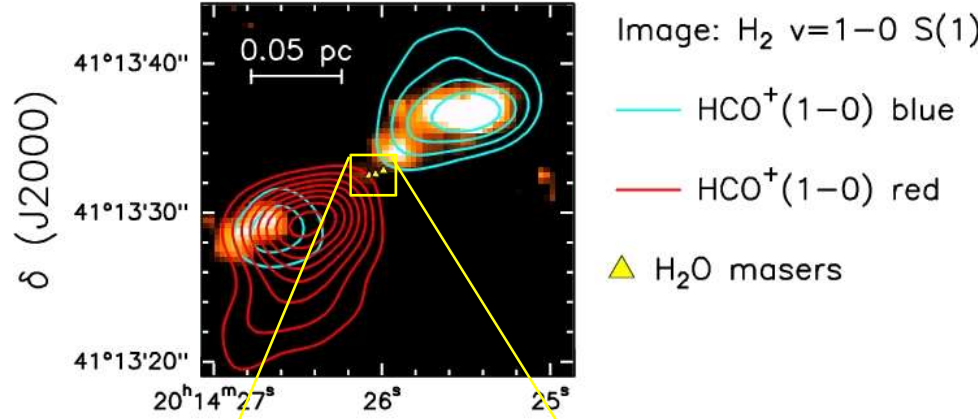
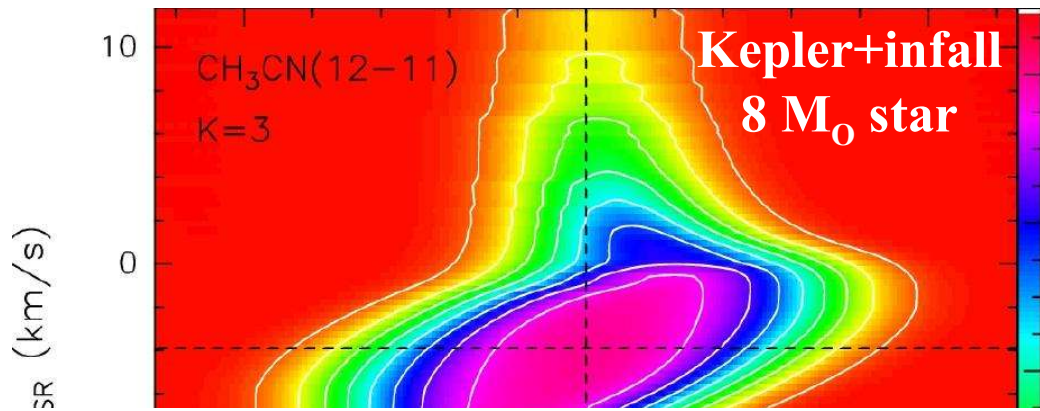
IRAS 20126+4104



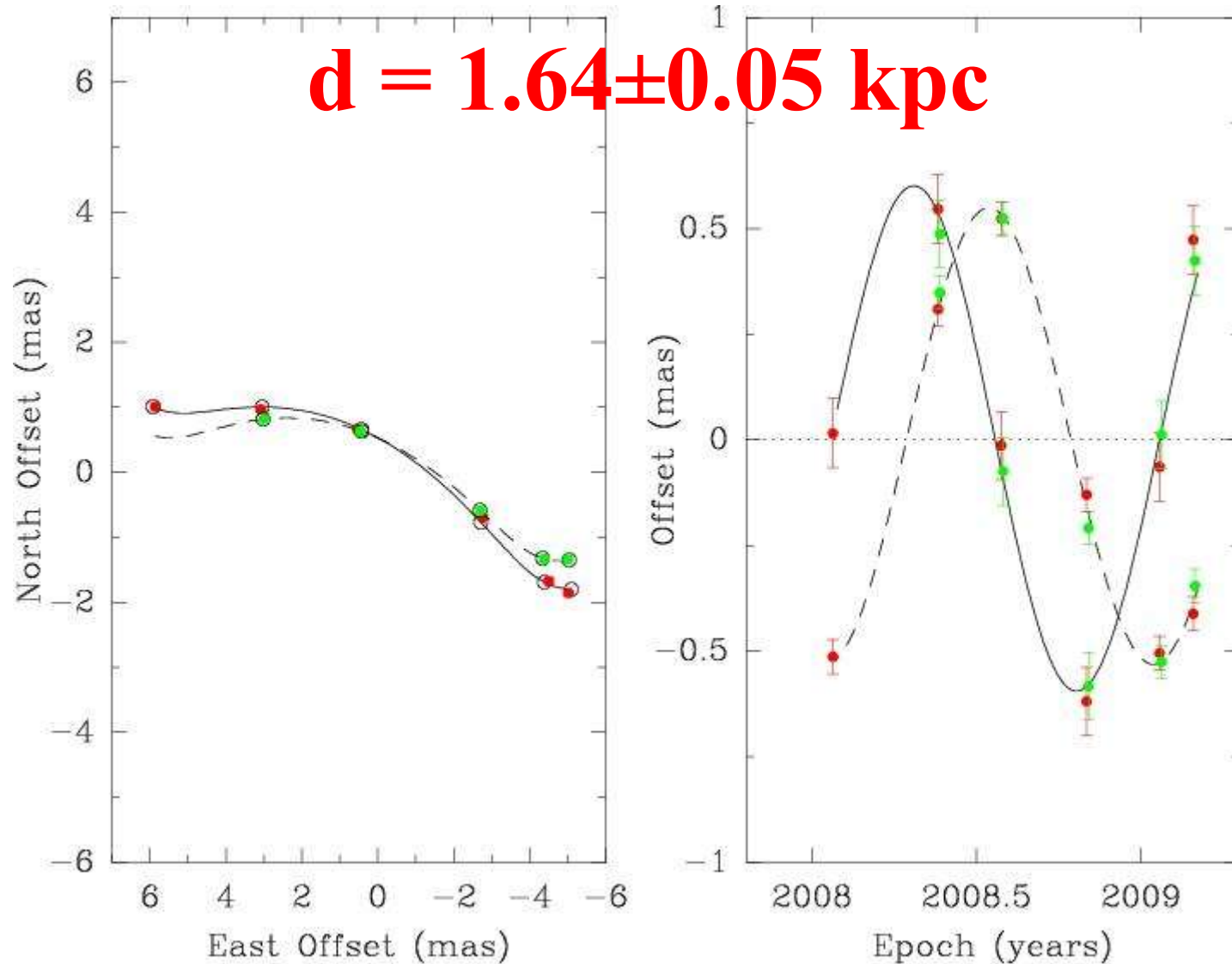
IRAS 20126+4104



IRAS 20126+4104



Distance measurement to **IRAS 20126+4104** with H₂O maser parallax (Moscadelli et al. 2010)



Risultati

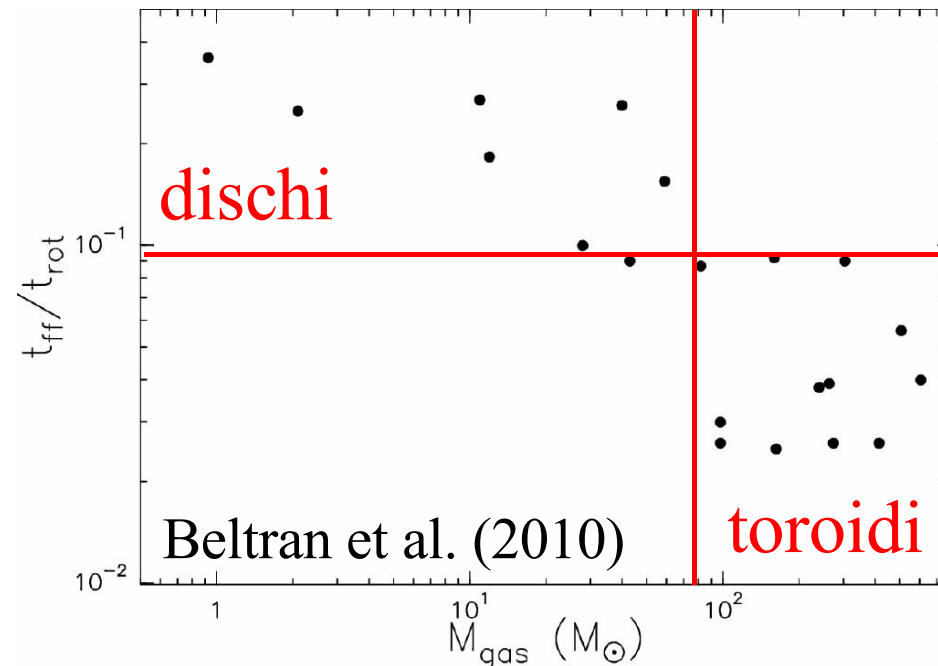
- **Stelle B** ($\sim 10^4 L_{\odot}$): evidenza di **dischi** di accrescimento circumstellari (Kepleriani)
- **Stelle O** ($> 10^5 L_{\odot}$): **nessuna evidenza di dischi**; solo **toroidi** rotanti (molto massicci)

Dischi

- $M < \text{alcune } 10 M_{\odot}$
 - $R \sim 1000 \text{ AU}$
 - $L \sim 10^4 L_{\odot} \rightarrow$ (proto)stelle **B**
 - $t_{\text{acc}}/t_{\text{rot}}$ grande
- ➔ Strutture *circumstellari* in equilibrio

Toroidi

- $M > 100 M_{\odot}$
 - $R \sim 10000 \text{ AU}$
 - $L > 10^5 L_{\odot} \rightarrow$ (proto)stelle **O**
 - $t_{\text{acc}}/t_{\text{rot}}$ piccolo
- ➔ Strutture **transienti**, contenenti *cluster*



Interrogativo

Perché **non** si osservano **dischi** attorno a
(proto)stelle di **tipo O** ?

Possibile causa: **bias osservativo** per scarse
sensibilità e risoluzione

Ipotesi:

$$\text{HPBW} = R_{\text{disk}}/4$$

$$\text{FWHM}_{\text{line}} = V_{\text{rot}}(R_{\text{disk}})$$

$$M_{\text{disk}} \propto M_{\text{star}}$$

$$\langle N_{\text{col}} \rangle = \text{cost.}$$

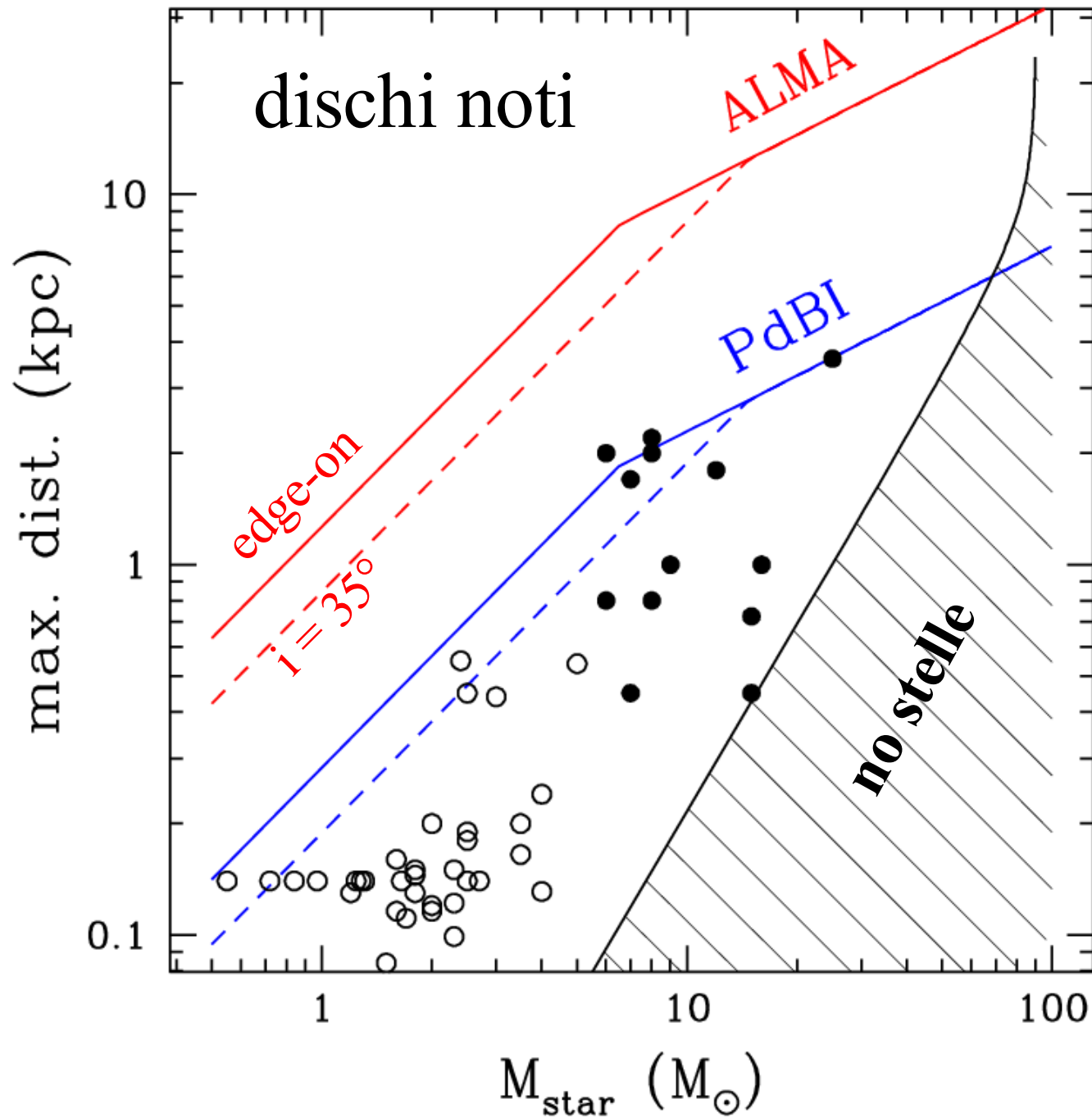
$$T_{\text{B}} > 20 \text{ K}$$

$$\nu = 230 \text{ GHz}$$

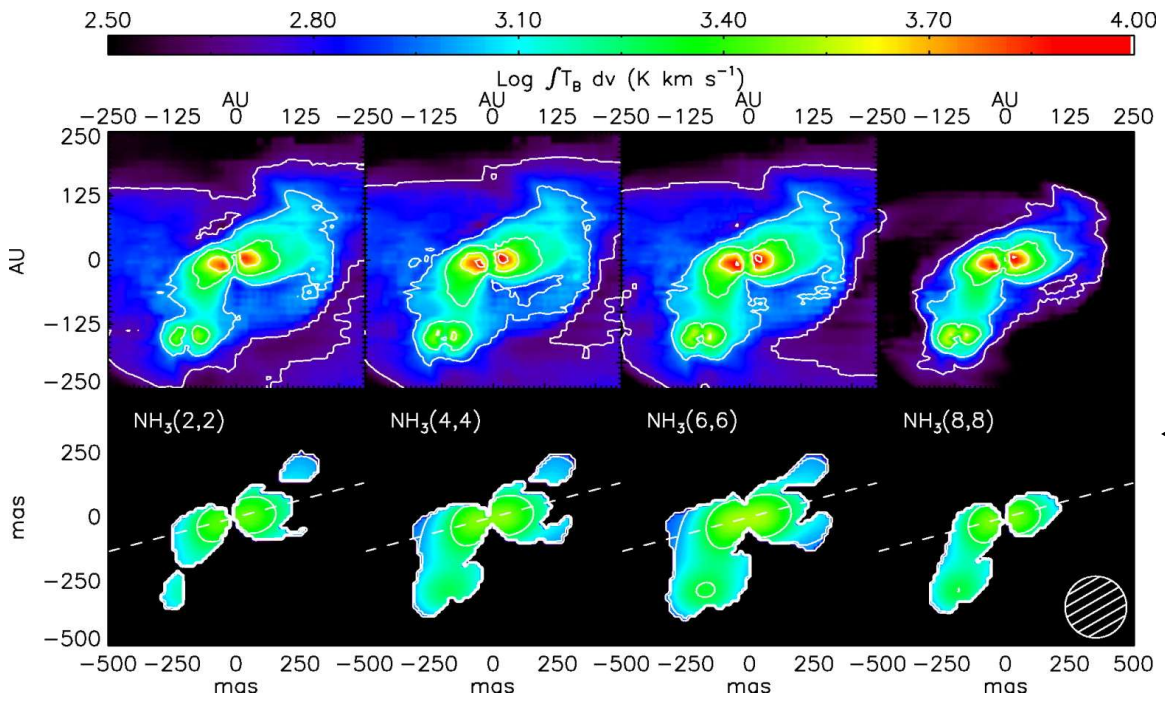
5 ore ON-source

$$\text{risol. spett.} = 0.2 \text{ km/s}$$

$$S/N = 20$$



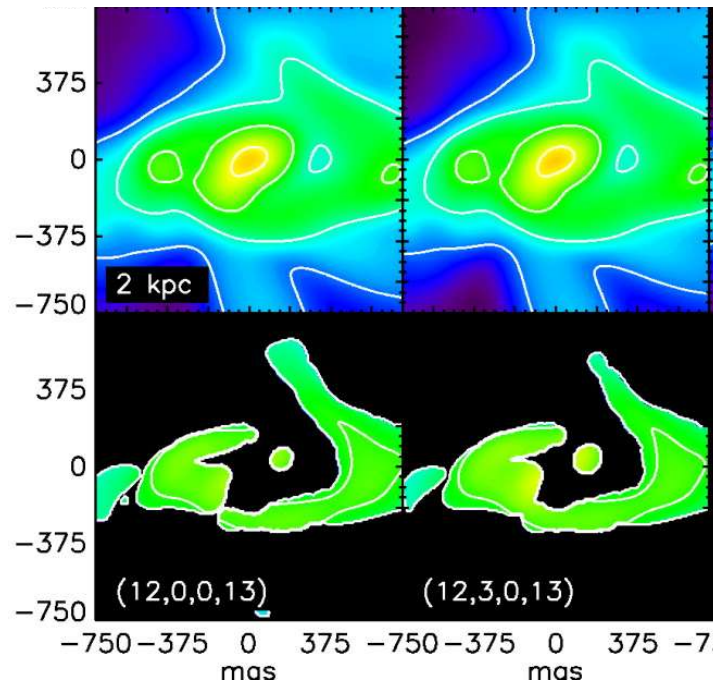
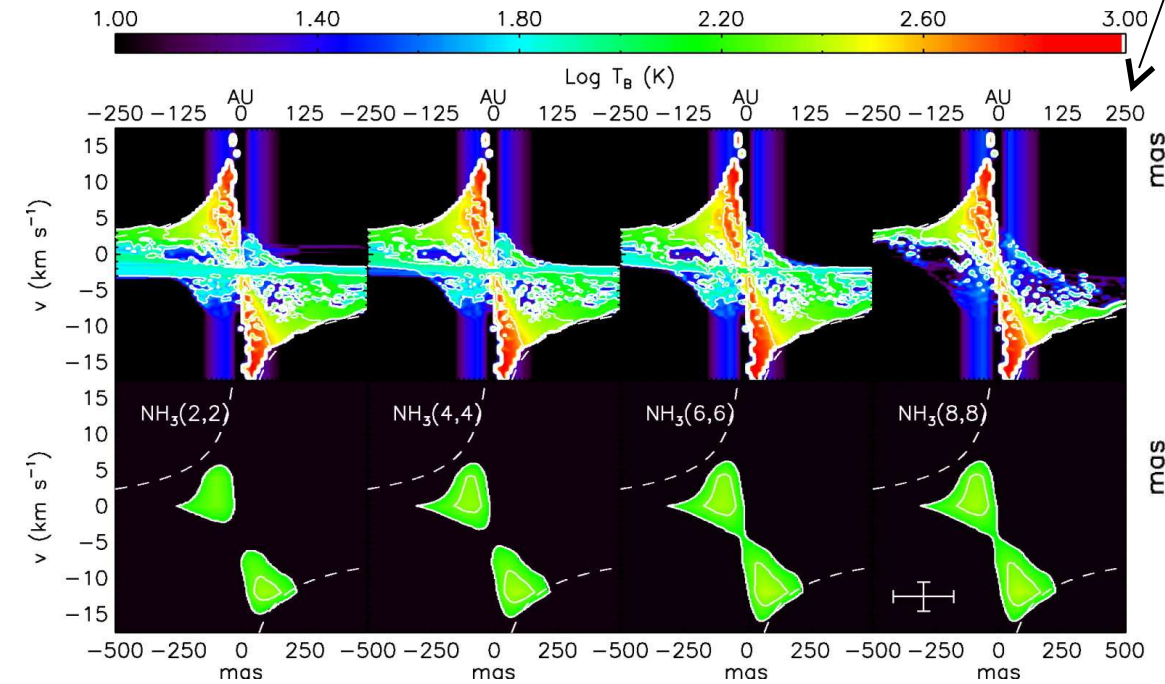
Simulazioni di dischi
 attorno a stella $8 M_{\odot}$
 Krumholz et al. (2007)



NH₃ con EVLA

CH₃CN(12-11)

con **ALMA**



cont.
+
riga

riga

Progetto ALMA

*R. Cesaroni, H. Zinnecker, M.T. Beltran, S. Etoke, D. Galli, C. Hummel,
N. Kumar, L. Moscadelli, T. Preibisch, A. Sanchez-Monge, T. Stanke,
F. Van der Tak, S. Vig, C.M. Walmsley, K.S. Wang*

Osservare dischi attorno a (proto)stelle di tipo O per stabilire **processo di formazione** stelle massicce

Tuttavia...

- Ciclo 0 **insufficiente** per distanze $> 2-3$ kpc
 - Rivelabili solo dischi in (proto)stelle B
- ➔ **Scopo Ciclo 0: trovare altri dischi Kepleriani come IRAS 20126+4104 in (proto)stelle B**

Target: nebulosa **bipolare** + radio **jet** + **core** denso

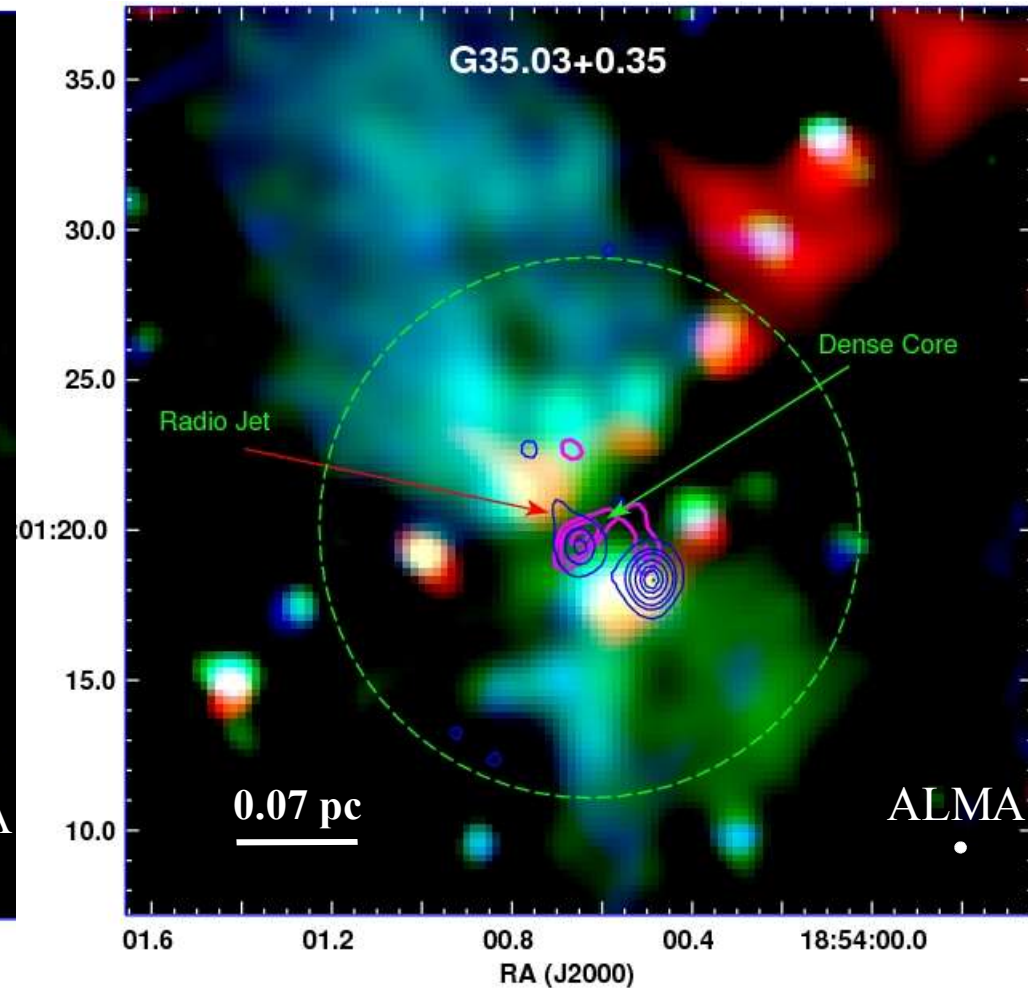
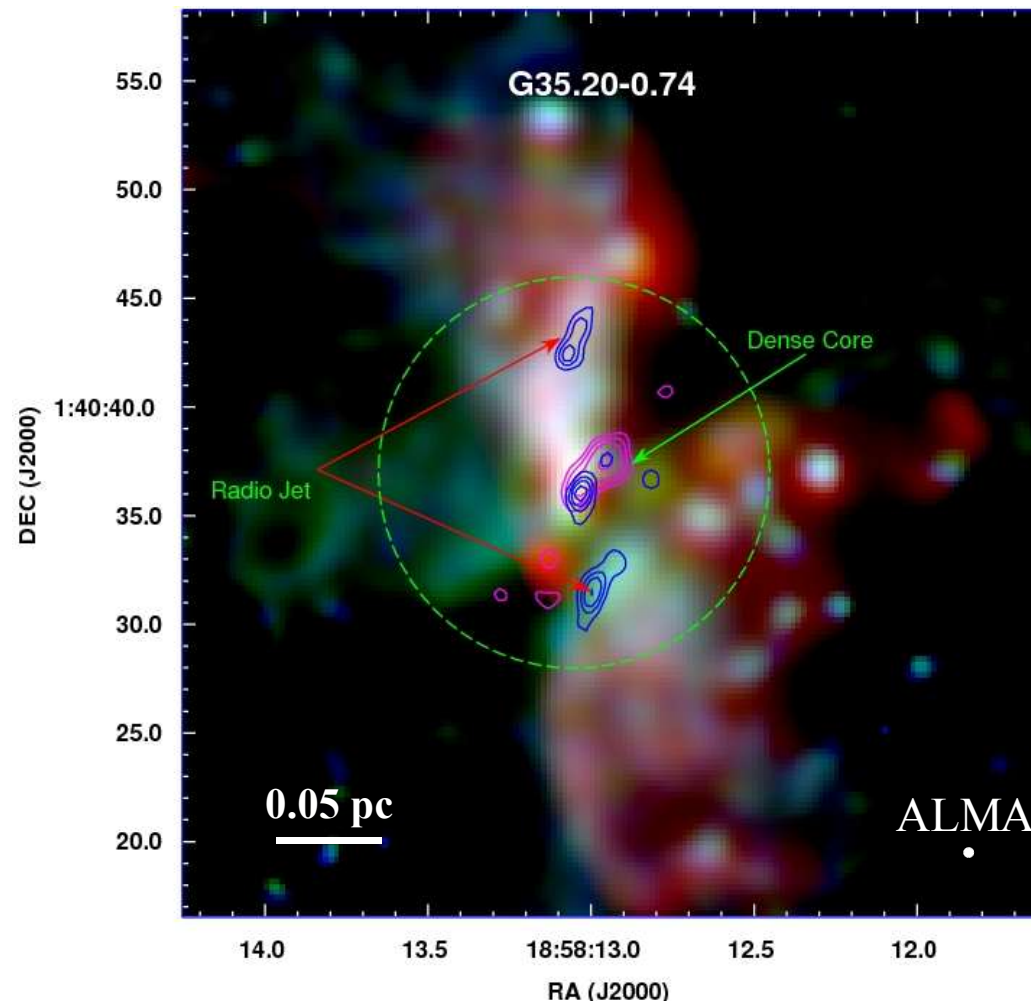
Spitzer/IRAC

VLA 1.3cm

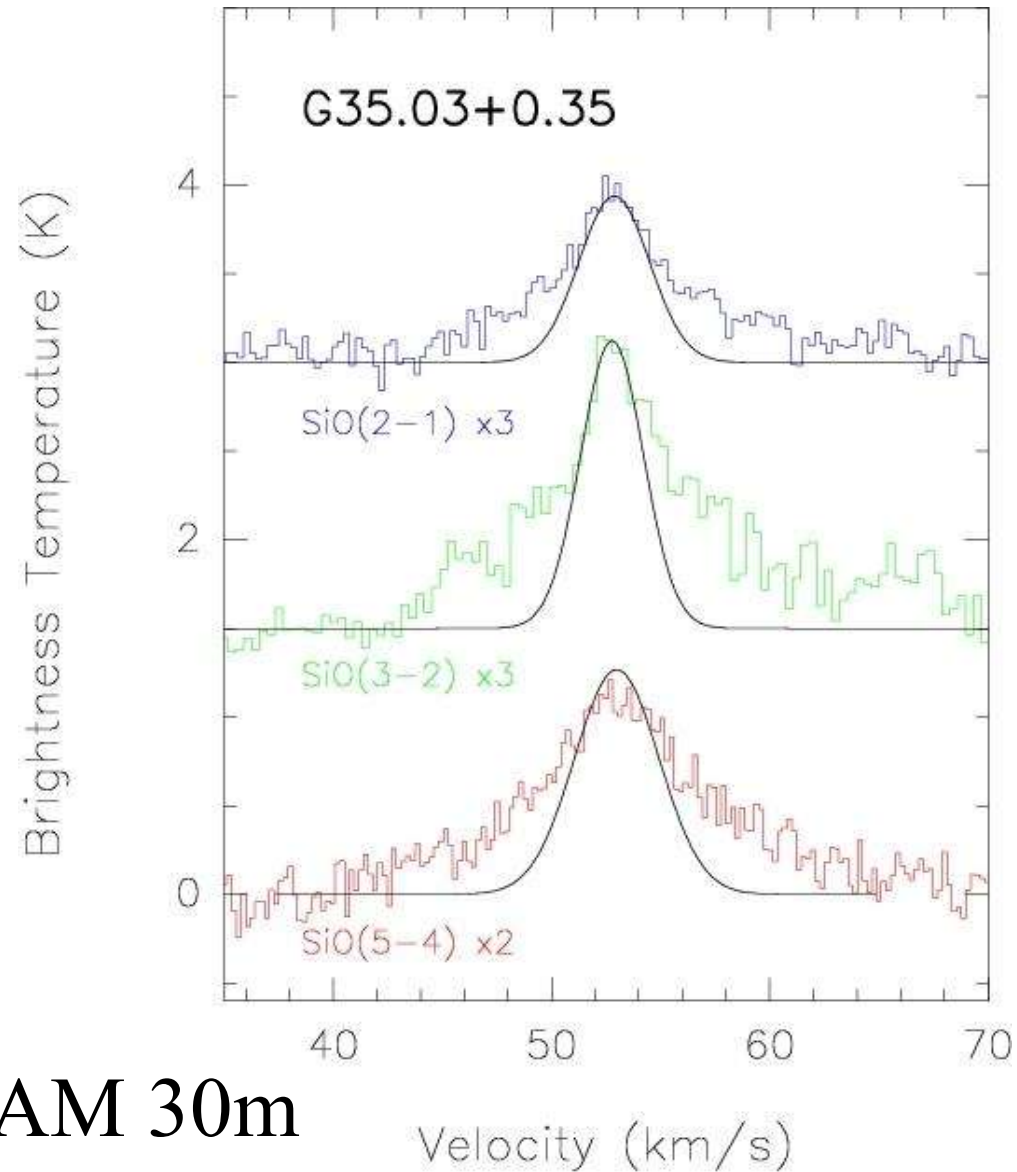
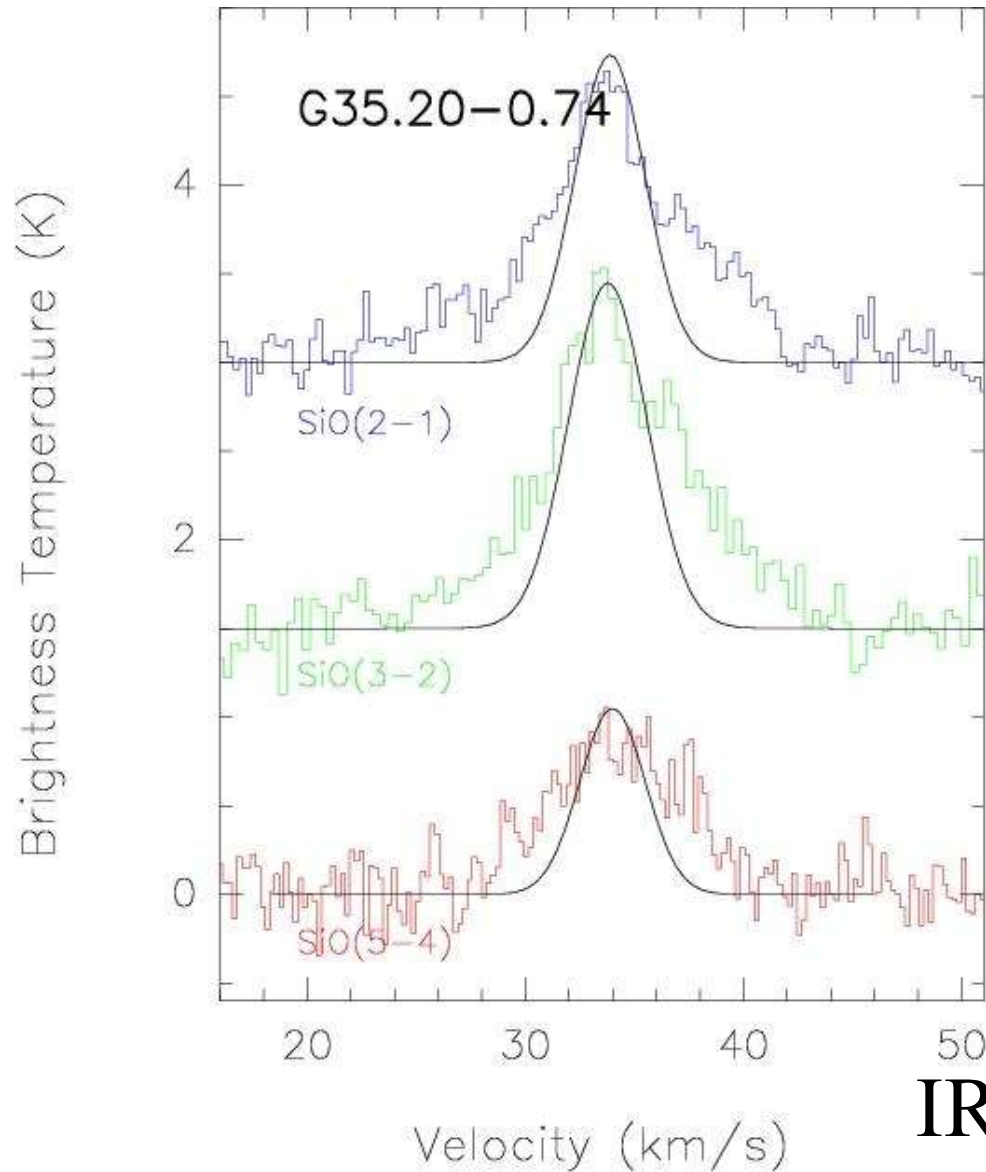
VLA NH₃

10⁴ L_O, 2.2 kpc

10⁴ L_O, 3.6 kpc



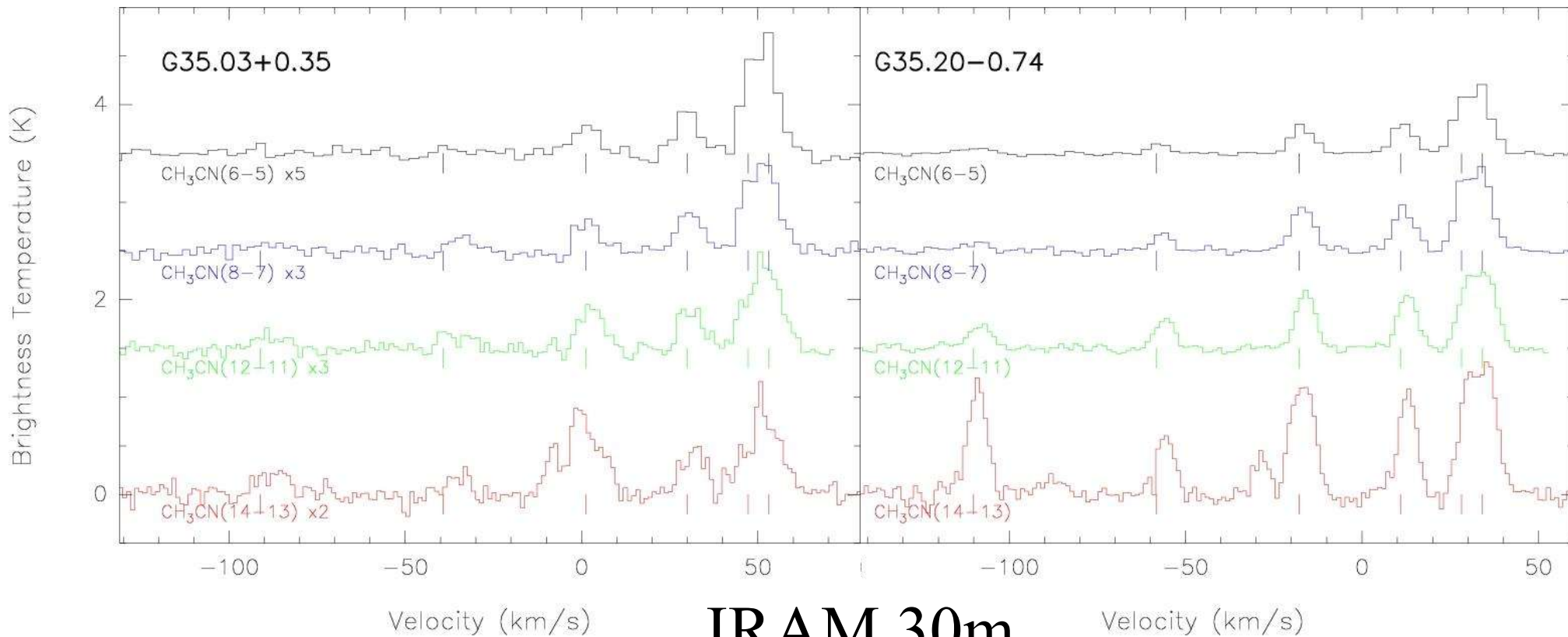
Tracciante outflow: **ali** prominenti in **SiO**



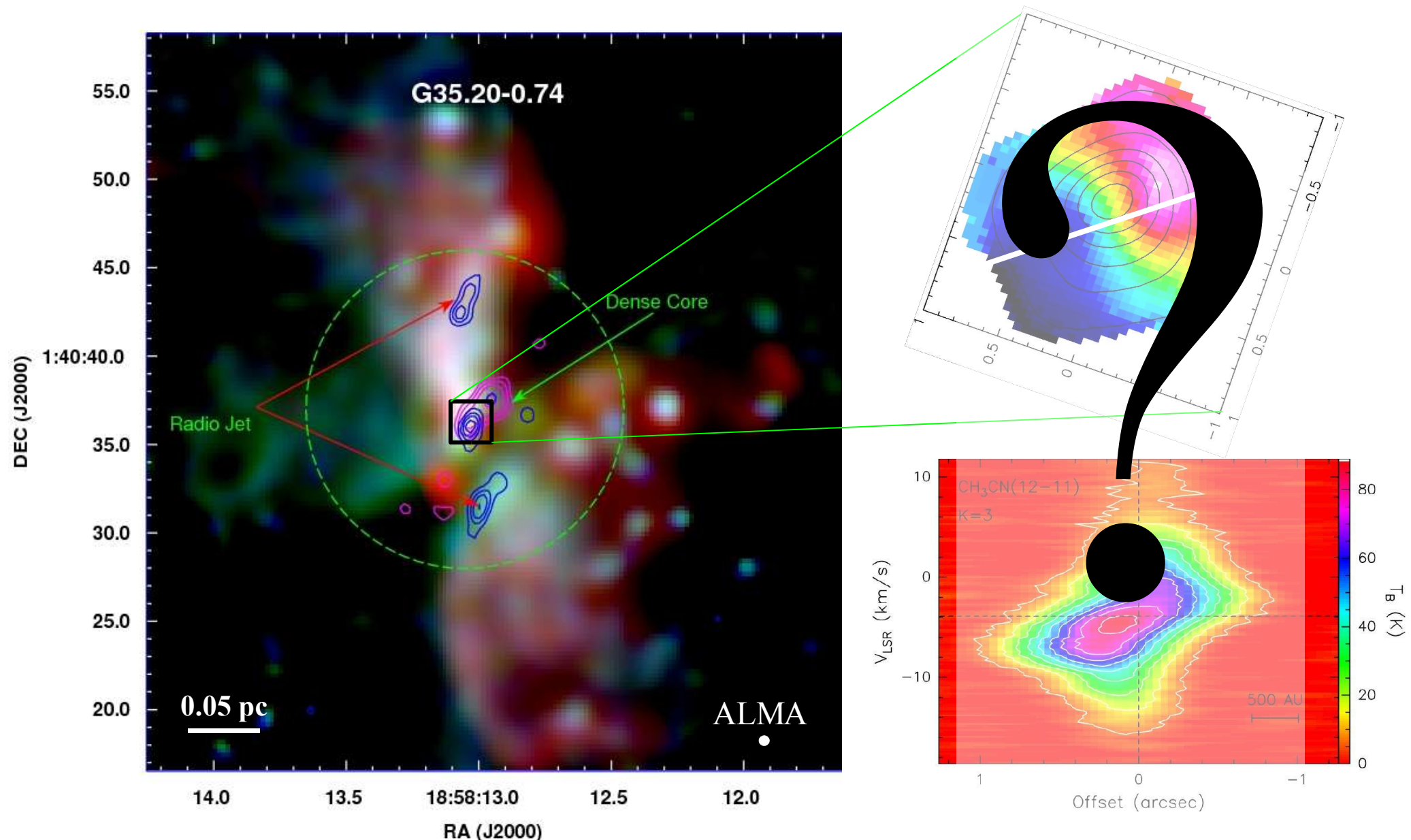
IRAM 30m

Tracciante disco: CH_3CN intenso

➔ gas denso e caldo



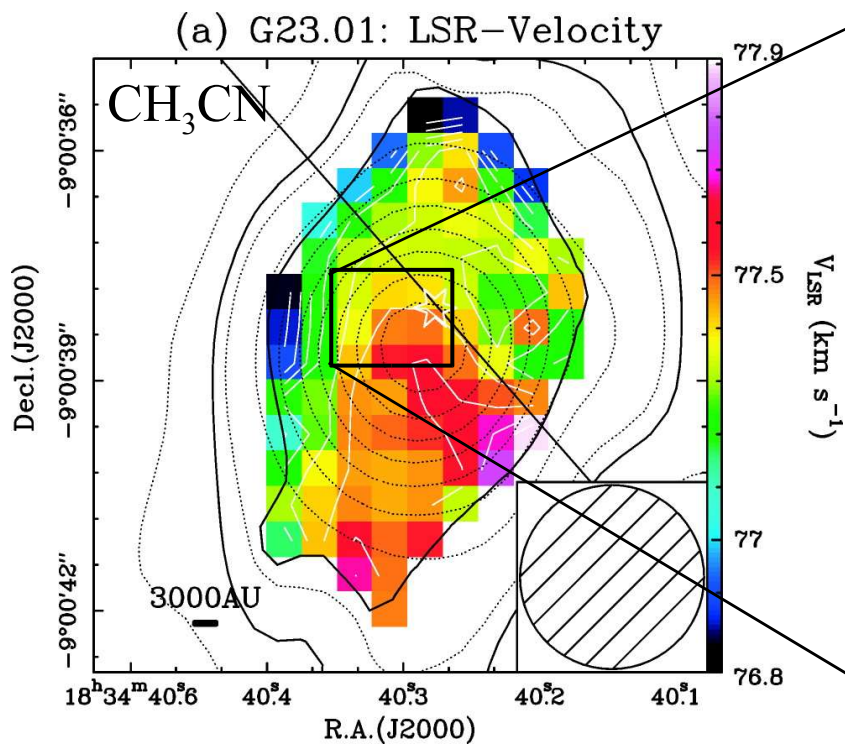
Cosa ci aspettiamo dal Ciclo 0...?



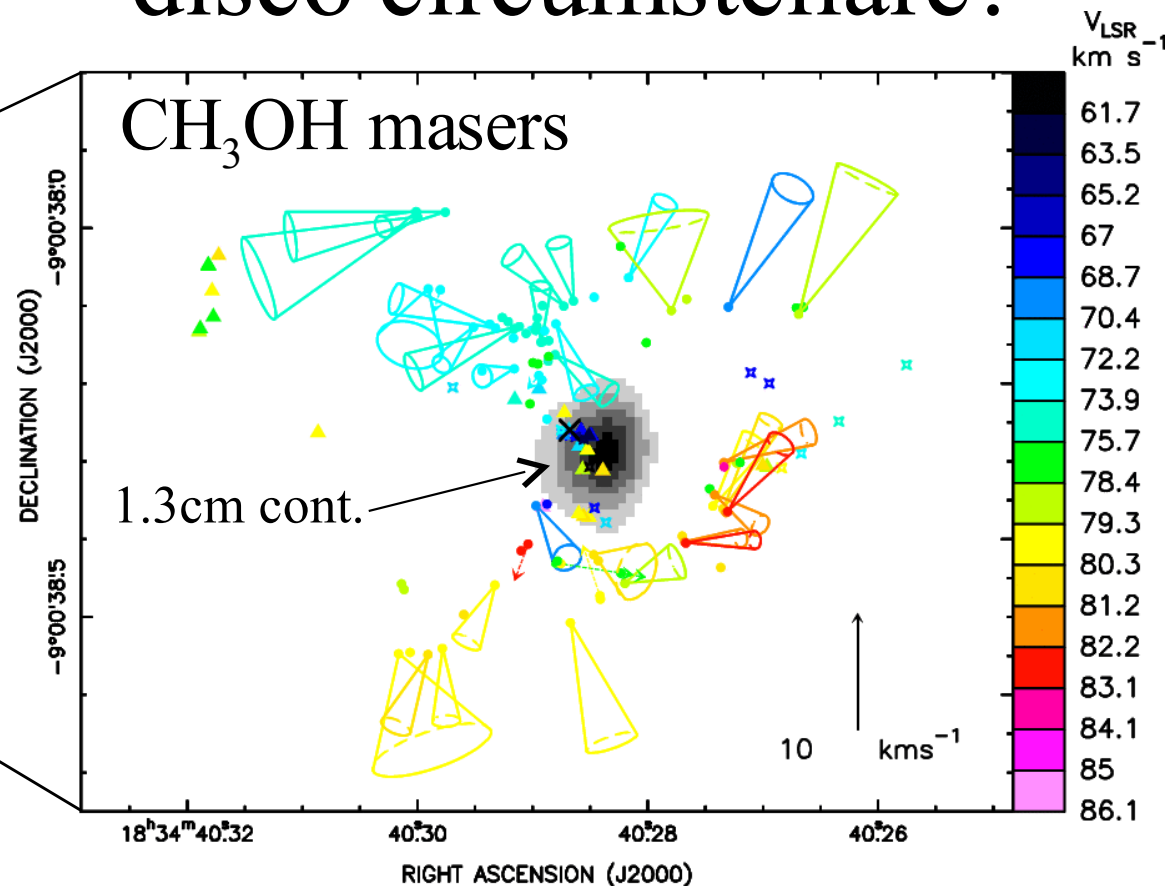
Il futuro: con ALMA completo dischi dentro toroidi in stelle O

toroide rotante?

disco circumstellare?



Furuya et al. (2008)



Sanna et al. (2010)